



Національний університет
водного господарства та природокористування

Міністерство освіти і науки України
Національний університет водного господарства та
природокористування
Кафедра автоматизації, електротехнічних та комп'ютерно –
інтегрованих технологій

04-03-252

Методичні вказівки

до самостійної роботи з навчальної дисципліни
«Теорія автоматичного керування»
для здобувачів вищої освіти першого
(бакалаврського) рівня за спеціальністю
151 «Автоматизація та комп'ютерно-інтегровані
технології» денної та заочної форм навчання

Рекомендовано методичною
комісією зі спеціальності
151 «Автоматизація та
комп'ютерно-інтегровані
технології»
Протокол № 9 від 24.06.2019 р.

Рівне – 2019



Національний університет

Методичні вказівки до самостійної роботи з навчальної дисципліни «Теорія автоматичного керування» для здобувачів вищої освіти першого (бакалаврського) рівня за спеціальністю 151 «Автоматизація та комп'ютерно-інтегровані технології» денної та заочної форм навчання / Кінчур О. Ф. – Рівне : НУВГП, 2019. – 15 с.

Укладач: Кінчур О. Ф., старший викладач кафедри автоматизації, електротехнічних та комп'ютерно-інтегрованих технологій.

Відповідальний за випуск: Древецький В. В., професор, завідувач кафедри автоматизації, електротехнічних та комп'ютерно-інтегрованих технологій.



Національний університет
водного господарства
та природокористування

© Кінчур О. Ф., 2019
© НУВГП, 2019



Методичні вказівки складені відповідно до чинної робочої навчальної програми дисципліни «Теорія автоматичного управління лінійними системами» для студентів, які навчаються за програмою освітньо- кваліфікаційного рівня бакалавра за напрямом автоматизація та комп'ютерно-інтегровані технології.

Мета даного навчального видання – допомогти студентам в освоєнні методів аналізу лінійних систем автоматичного управління та надбанні необхідних практичних навичок аналізу типових лінійних систем в процесі виконання розрахункових робіт.

Розрахункова робота виконується як різновид самостійної роботи студента. Виконання розрахункової роботи сприятиме закріпленню, поглибленню та узагальненню теоретичних основ курсу, а також сприятиме розвитку навичок самостійної творчої роботи студентів у процесі їх навчання.

Методичні вказівки містять стислі теоретичні відомості про динамічні характеристики систем автоматичного керування, завдання для розрахункових робіт зі схемами, математичним описом та варіантами значень параметрів.

1. ТЕОРЕТИЧНІ ВІДОМОСТІ

1.1. Основні характеристики елементів та систем автоматичного керування

Рівняння динаміки елементу системи автоматичного керування (САК) - це диференційне рівняння, що визначає залежність вихідної величини $Y(t)$ елементу від його вхідної величини $X(t)$ і часу.

Для заданого чи визначеного рівняння динаміки елементу САК, що описує залежність вихідної величини елементу від вхідної, передатна функція ланки $W(p)$ визначається за допомогою перетворення Лапласа за нульових початкових умов.

Передатна функція ланки (системи) $W(p)$ визначається як відношення зображень за Лапласом вихідної $Y(t)$ і вхідної $X(p)$ величин за нульових початкових умов:



$$W(p) = \frac{Y(p)}{X(p)}, \quad (1)$$

тобто передатна функція визначається із рівняння ланки, записаного в операторній формі. Якщо елемент системи має дві вхідні величини, необхідно визначити дві передатні функції (за кожним входом).

Ваговою функцією $\omega(t)$ називається реакція елемента (системи) на одиничний імпульс $\delta(t)$ на вході елемента (системи), тобто на миттєвий імпульс нескінченно великої амплітуди і одиничної площі. Щоб отримати вагову функцію $\omega(t)$, необхідно визначити оригінал (обернене перетворення Лапласа), що відповідає передатній функції:

$$\omega(t) = L^{-1} W(p), \quad (2)$$

де L^{-1} — знак оберненого перетворення Лапласа.

Перехідною функцією елемента (системи) $h(t)$ називається реакція елемента (системи) на одиничну ступінчасту дію, тобто перехідна функція визначається як процес на виході $h(t)=Y(t)$ за одиничного стрибка на вході $X(t)=I[t]$. Перехідна функція $h(t)$ визначається як обернене перетворення Лапласа (тобто оригінал) від зображення $W(p)/p$, тобто:

$$h(t) = L^{-1} \left\{ \frac{W(p)}{p} \right\}. \quad (3)$$

Комплексною передатною функцією (КПФ) ланки (системи) називається відношення комплексного зображення вихідної величини $Y(j\omega)$ до комплексного зображення вхідної величини $X(j\omega)$ в режимі усталених гармонічних коливань:

$$W(j\omega) = \frac{Y(j\omega)}{X(j\omega)} = P(\omega) + jQ(\omega) = A(\omega)e^{j\varphi(\omega)}, \quad (4)$$

де $P(\omega)$ та $Q(\omega)$ - відповідно дійсна та уявна частини КПФ у алгебраїчному поданні; $A(\omega)$ та $\varphi(\omega)$ - відповідно модуль та аргумент КПФ у показниковому поданні.

Амплітудно-частотною характеристикою (АЧХ) ланки (системи) називається крива залежності модуля КПФ $A(\omega)$ від частоти при змінюванні частоти від 0 до ∞ .

Фазочастотною характеристикою (ФЧХ) ланки (системи)



називається крива залежності аргументу КПФ $\varphi(\omega)$ від частоти при змінюванні частоти від 0 до ∞ .

1.2. Передатні функції систем автоматичного керування

Передатна функція розімкненої системи $W_{роз}(p)$ дорівнює добутку передатних функцій всіх елементів, що входять до замкнутого контуру:

$$W_{роз}(p) = W_{np}(p) W_{зз}(p), \quad (5)$$

де $W_{np}(p)$ — передатна функція ланок у прямому зв'язку; $W_{зз}(p)$ — передатна функція ланок у зворотному зв'язку.

Для системи з одиничним зворотним зв'язком ($W_{зз}(p) = 1$):

$$W_{роз}(p) = W_{np}(p). \quad (6)$$

Після визначення передатної функції розімкненої системи можна знайти передатні функції замкнутої системи :

- за вхідним діянням:

$$W_3(p) = \frac{y(p)}{x(p)} = \frac{W_{np}(p)}{1 + W_{np}(p)W_{зз}(p)} = \frac{W_{np}(p)}{1 + W_{роз}(p)}, \quad (7)$$

або для $W_{зз}(p) = 1$:

$$W_3(p) = \frac{W_{роз}(p)}{1 + W_{роз}(p)}; \quad (8)$$

- за помилкою системи:

$$W_\delta(p) = \frac{\delta(p)}{x(p)} = \frac{1}{1 + W_{роз}(p)}; \quad (9)$$

- за збуренням:

$$W_3^f(p) = \frac{y(p)}{f(p)} = \frac{W_f(p)}{1 + W_{роз}(p)}. \quad (10)$$

Вирази (7)-(10) мають однакові знаменники, які визначають характеристичне рівняння $D(p)$ замкнутої системи. Якщо передатну функцію розімкненої системи в загальному випадку записати у вигляді:

$$W_{роз}(p) = \frac{R(p)}{Q(p)},$$

то для отримання характеристичного рівняння слід до знаменника передатної функції розімкненої системи додати її чисельник:



$$D(p)=R(p)+Q(p).$$

1.3. Побудова асимптотичних логарифмічних частотних характеристик розімкненої системи

Логарифмічна амплітудно-частотна характеристика (ЛАЧХ) розімкненої системи визначається як:

$$L(\omega) = 20 \lg A(\omega) = \sum_{i=1}^n L_i(\omega), \quad (11)$$

де $L_i(\omega)$ - ЛАЧХ i -тої ланки системи.

Одиницею виміру $L_i(\omega)$ є децибел (відкладаємо на осі ординат), а на осі абсцис відкладається частота ω [с⁻¹] в логарифмічному масштабі.

Вираз для логарифмічної фазочастотної характеристики (ЛФЧХ) також запишемо у вигляді алгебраїчної суми:

$$\varphi(\omega) = \sum_{i=1}^n \varphi_i(\omega), \quad (12)$$

де $\varphi_i(\omega)$ - ЛФЧХ i -тої ланки.

При побудові ЛФЧХ відлік кутів $\varphi(\omega)$ іде за віссю ординат в звичайному масштабі в кутових градусах чи радіанах. За віссю абсцис відкладається частота в логарифмічному масштабі.

Характеристики $L(\omega)$ і $\varphi(\omega)$ будують на одному бланку, причому $\varphi(\omega)$ розташовують точно під $L(\omega)$.

ЛАЧХ і ЛФЧХ можна побудувати безпосередньо за заданою передатною функцією, використовуючи відомі асимптотичні характеристики окремих елементів.

Розглянемо методику побудови асимптотичних характеристик (рис.1).

1. Визначити частоти спряження ω_1 і, $\omega_2, \dots, \omega_n$, де $\omega_i = 1/T_i$, відкласти їх значення вздовж осі частот.

2. На частоті $\omega = 1$ відкласти ординату, яка дорівнює $20 \lg K_{роз}$, де $K_{роз}$ - коефіцієнт підсилення розімкненої системи, позначивши дану точку A .

3. Через точку A провести пряму з нахилом ($-v$ і 20 дБ/дек), де v - порядок астатизму системи, від осі ординат до першої частоти



спряження. Даний відрізок є низькочастотною асимптотою ЛАЧХ. Якщо перша частота спряження менша за одиницю (тобто лежить зліва від частоти $\omega=1$ на осі частот), то через точку *A* пройде продовження низькочастотної асимптоти.

4. Після кожної частоти спряження ω_i необхідно змінювати нахил ЛАЧХ:

- на (- 20 дБ/дек), якщо частота спряження визначається сталою часу ланки першого порядку типу $(Tp + 1)$ в знаменнику $W_{роз}(p)$;
- на (+20 дБ/дек), якщо частота спряження визначається сталою часу ланки того ж типу в чисельнику $W_{роз}(p)$;
- для ланок другого порядку (аперіодична другого порядку, коливальна) нахил змінюється на (± 40 дБ/дек) (знак "+", якщо ланка знаходиться в чисельнику $W_{роз}(p)$, а знак "-", якщо в знаменнику).

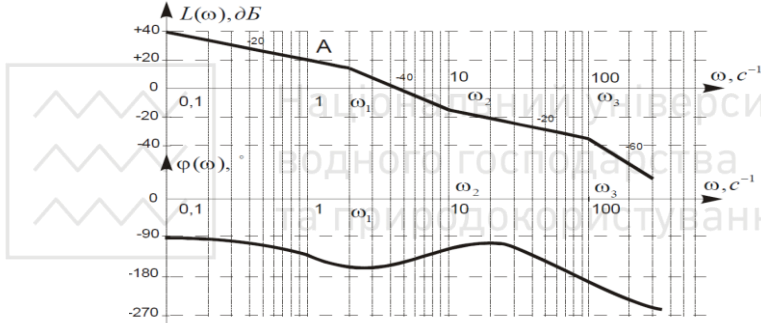


Рис. 1. Приклад побудови асимптотичних логарифмічних частотних характеристик розімкненої системи.

1.4. Стійкість лінійних САК

Стійкість системи - це її властивість повертатись у початковий стан після зняття збурення, яке вивело систему із цього стану. Під час аналізу САК в першу чергу визначають її стійкість, а під час синтезу обов'язково вживають заходи із забезпечення стійкості.

Найчастіше визначають стійкість лінійних САК за коренями характеристичного рівняння, за алгебраїчними критеріями (Гурвіца, Рауса), за частотними критеріями (Михайлова, Найквіста, з використанням логарифмічних характеристик).

Визначати стійкість за коренями характеристичного рівняння доцільно у випадку низького порядку системи та коли в




подальшому необхідно знаходити кореневі показники якості чи виконувати синтез системи за кореневим методом. Лінійна САК стійка, якщо всі корені її характеристичного рівняння мають від'ємні дійсні частини.

Алгебраїчні критерії стійкості використовують для аналізу лінійних систем високого порядку.

За критерієм Гурвіца система буде стійкою, якщо в характеристичному рівнянні системи

$$a_n p^n + a_{n-1} p^{n-1} - 1 + a_{n-2} p^{n-2} + \dots + a_1 p + a_0 = 0 \quad (13)$$

коефіцієнт $a_{n-1} > 0$ і всі визначники Δ_i , одержані з матриці Гурвіца, будуть додатними. Матриця Гурвіца - це квадратна матриця розмірністю $n \times n$, яка формується із коефіцієнтів a_i характеристичного рівняння:



$$\begin{vmatrix} a_{n-1} & a_{n-3} & a_{n-5} & 0 \\ a_n & a_{n-2} & a_{n-4} & 0 \\ 0 & a_{n-1} & a_{n-3} & 0 \\ \dots & \dots & \dots & \dots \\ 0 & \dots & a_2 & a_0 \end{vmatrix} \quad (14)$$

Визначник Δ_i обчислюють для матриць, які одержують шляхом послідовного викреслювання останнього рядка і останнього стовпчика матриці вищої розмірності:

$$\Delta_n = \det \begin{vmatrix} a_{n-1} & a_{n-3} & \dots & 0 \\ a_n & a_{n-2} & \dots & 0 \\ 0 & a_{n-1} & \dots & 0 \\ \dots & \dots & \dots & \dots \\ 0 & \dots & a_2 & a_0 \end{vmatrix}; \quad \Delta_{n-1} = \det \begin{vmatrix} a_{n-1} & a_{n-3} & \dots & 0 \\ a_n & a_{n-2} & \dots & 0 \\ \dots & \dots & \dots & \dots \\ 0 & \dots & a_3 & a_1 \end{vmatrix} \dots$$

$$\Delta_3 = \det \begin{vmatrix} a_{n-1} & a_{n-3} & a_{n-5} \\ a_n & a_{n-2} & a_{n-4} \\ 0 & a_{n-1} & a_{n-3} \end{vmatrix}; \quad \Delta_2 = \det \begin{vmatrix} a_{n-1} & a_{n-3} \\ a_n & a_{n-2} \end{vmatrix}; \quad \Delta_1 = a_{n-1}.$$



Якість роботи лінійних САК оцінюють за допомогою прямих, частотних, кореневих, інтегральних показників якості. Прямі показники якості визначають за графіком перехідного процесу; такий спосіб є простим, наглядним і має задовільну точність. На рисунку 2 наведено типовий коливальний перехідний процес і виконано додаткові побудови для визначення прямих показників якості.

1. Час регулювання (тривалість перехідного процесу) t_p визначається як час від початку процесу до моменту, після якого функція $h(t)$ уже не буде відхилятися від усталеного значення $h_{уст}$ на величину, більшу ніж задана похибка Δ . Якщо Δ не задана, то її приймають $\Delta = 0,05h_{уст}$.

2. Перерегулювання σ характеризує максимальне відхилення $h(t)$ від усталеного режиму виражене у відсотках:

$$\sigma = \frac{h_m - h_{уст}}{h_{уст}} \times 100\%$$

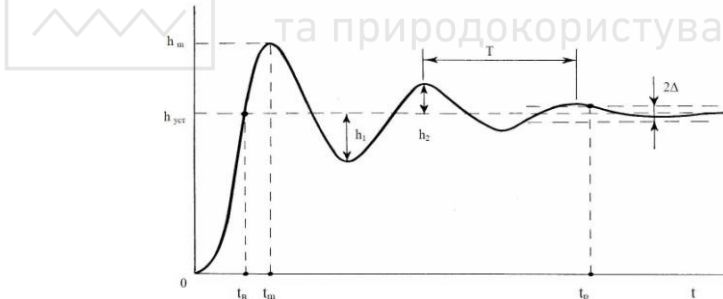


Рис. 2. Визначення прямих показників якості лінійних САК

3. Час виходу на режим t_B – час від початку процесу до першого досягнення ним значення $h_{уст}$.

4. Час досягнення першого максимуму t_M .

5. Період коливань T .

6. Кількість коливань N за час регулювання.

7. Декремент згасання χ характеризує інтенсивність зменшення амплітуди коливань



$$\chi = \frac{h_1}{h_2}$$

Іноді визначають логарифмічну міру згасання $d = \ln \chi$.

2. ЗАВДАННЯ ДО РОЗРАХУНКОВОЇ РОБОТИ

ЗАВДАННЯ 1

Одержати передатну функцію для схеми, зображеної на рис.3, відповідно до номеру варіанта.

Необхідно побудувати зазначені характеристики (див. табл.1):

- амплітудно-частотну (АЧХ),
- фазову частотну (ФЧХ),
- амплітудно-фазову (АФХ),
- перехідну (ПХ),
- імпульсну перехідну (ІПХ).

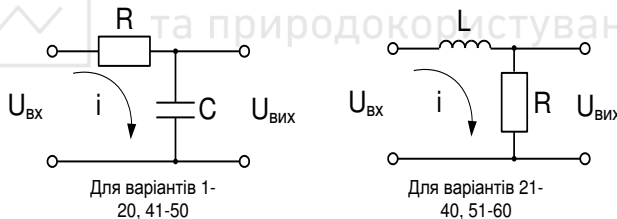


Рис.3.

Таблиця 1

| № вар. | R, Ом | C, мкФ | № вар. | R, Ом | L, Гн |
|--------|-------|--------|--------|-------|-------|
| 1 | 1000 | 1000 | 21 | 1,0 | 0,20 |
| 2 | 1100 | 1000 | 22 | 1,2 | 0,20 |
| 3 | 1200 | 1000 | 23 | 1,5 | 0,20 |
| 4 | 1300 | 1000 | 24 | 1,6 | 0,20 |
| 5 | 1400 | 1000 | 25 | 2,0 | 0,20 |
| 6 | 1500 | 1000 | 26 | 2,0 | 0,25 |
| 7 | 1600 | 1000 | 27 | 2,5 | 0,25 |
| 8 | 1800 | 1000 | 28 | 4,0 | 0,25 |
| 9 | 2000 | 1000 | 29 | 5,0 | 0,25 |
| 10 | 500 | 2000 | 30 | 7,5 | 0,25 |

| | | | | | |
|----|------|------|----|------|------|
| 11 | 550 | 2000 | 31 | 5,8 | 0,30 |
| 12 | 600 | 2000 | 32 | 4,2 | 0,30 |
| 13 | 700 | 2000 | 33 | 3,2 | 0,30 |
| 14 | 750 | 2000 | 34 | 1,8 | 0,30 |
| 15 | 800 | 2000 | 35 | 5,8 | 0,30 |
| 16 | 600 | 1500 | 36 | 6,0 | 0,20 |
| 17 | 700 | 1500 | 37 | 7,5 | 0,20 |
| 18 | 800 | 1500 | 38 | 6,0 | 0,15 |
| 19 | 1000 | 1500 | 39 | 8,0 | 0,15 |
| 20 | 1200 | 1500 | 40 | 12,0 | 0,15 |
| 41 | 1000 | 1000 | 51 | 1,0 | 0,30 |
| 42 | 1100 | 1000 | 52 | 1,2 | 0,30 |
| 43 | 1200 | 1000 | 53 | 1,5 | 0,30 |
| 44 | 750 | 2000 | 54 | 2,0 | 0,30 |
| 45 | 400 | 1500 | 55 | 5,4 | 0,25 |
| 46 | 700 | 2000 | 56 | 7,5 | 0,25 |
| 47 | 500 | 2000 | 57 | 4,0 | 0,25 |
| 48 | 600 | 1500 | 58 | 6,5 | 0,30 |
| 49 | 1200 | 1500 | 59 | 6,2 | 0,30 |
| 50 | 1500 | 1000 | 60 | 3,6 | 0,30 |

ЗАВДАННЯ 2

Знайти передатну функцію з'єднання ланок. Структурні схеми для різних варіантів наведені на рис. 4, а передатні функції окремих ланок – у табл. 2.

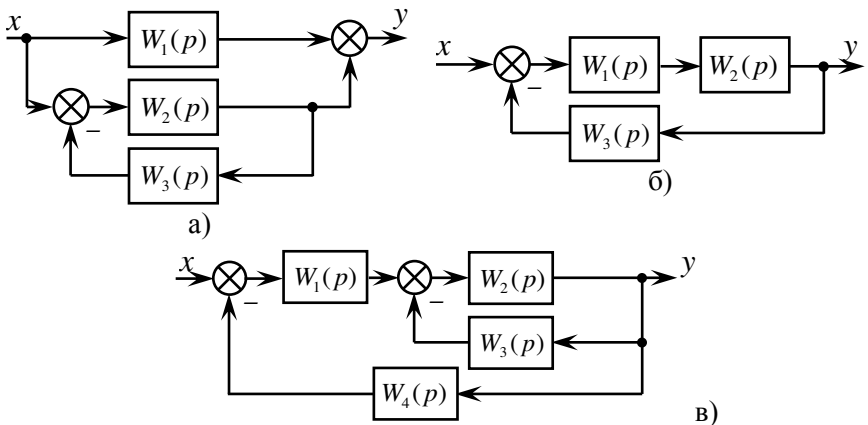


Рис. 4. Структурні схеми до завдання 2



Таблиця 2

| Варіант завдання | Передатні функції | | | | Структурна схема |
|------------------|-------------------|----------------|----------|----------|------------------|
| | $W_1(p)$ | $W_2(p)$ | $W_3(p)$ | $W_4(p)$ | |
| 1, 31 | $3/(0.2p+1)$ | $2/p$ | 0.5 | - | Рис. 4, а |
| 2, 32 | $1/(0.1p+1)$ | $3/p$ | 1.2 | - | |
| 3, 33 | $3/(0.2p+1)$ | $1/p$ | 3.2 | - | |
| 4, 34 | $1/(0.3p+1)$ | $2/p$ | 0.5 | - | |
| 5, 35 | $1/p$ | $1/p$ | 0.7 | - | |
| 6, 36 | $2/(0.2p+1)$ | $1(0.1p+1)$ | 0.2 | - | |
| 7, 37 | $1/(0.2p+1)$ | $(0.2p+1)$ | 0.5 | - | |
| 8, 38 | $2/p$ | $(0.5p+1)$ | 0.5 | - | |
| 9, 39 | $3/(0.3p+1)$ | $5/p$ | 0.7 | - | |
| 10, 40 | $1/(0.2p+1)$ | $6/p$ | 1.5 | - | |
| 11, 41 | $3/(0.2p+1)$ | $5/p$ | 0.2 | - | |
| 12, 42 | $1/p$ | 0.5 | 0.5 | - | |
| 13, 43 | $0.2/p$ | $0.5/(0.2p+1)$ | 1.0 | - | |
| 14, 44 | $1/(p+1)$ | $0.5/p$ | 2.5 | - | |
| 15, 45 | $2/p$ | $0.5/(p+1)$ | 2.0 | - | |
| 16, 46 | $1/p$ | $2/(p+1)$ | 0.5 | - | |
| 17, 47 | $0.5/p$ | $1/(p+1)$ | 0.5 | - | |
| 18, 48 | $10/p$ | $0.5/(2p+1)$ | 0.7 | - | |
| 19, 49 | $9/(0.1p+1)$ | $5/p$ | 1.2 | - | |
| 20, 50 | $2/p$ | 0.5 | 0.2 | - | |
| 21, 51 | $4/p$ | $0.2/p$ | 0.1 | 1.0 | Рис. 4, в |
| 22, 52 | $1/p$ | $3/p$ | 2.0 | 0.5 | |
| 23, 53 | 2.0 | $1/(p+1)$ | 2.0 | 0.5 | |
| 24, 54 | $5/(p+1)$ | $5/p$ | 1.0 | $p+1$ | |
| 25, 55 | $5/(p+2)$ | $2/p$ | 2.0 | $P+2$ | |
| 26, 56 | $4/p$ | $05/p$ | 0.2 | 2.0 | |
| 27, 57 | 5.0 | $0.2/(p+1)$ | 1.0 | 0.5 | |
| 28, 58 | $2/p$ | $0.2/p$ | 0.2 | 1.0 | |
| 29, 59 | $5/p$ | $0.2/p$ | 0.5 | 1.0 | |
| 30, 60 | $4/p$ | $3/p$ | 5.0 | 0.5 | |



Побудувати асимптотичну логарифмічну амплітудно-частотну характеристику для системи автоматичного регулювання в розімкненому стані. Передатні функції системи і її параметри наведені в табл. 3.

Таблиця 3

| Варіант | Передатні функції | Значення параметрів | | | |
|---------|--|---------------------|----------|----------|-----|
| | | T_1, c | T_2, c | T_3, c | K |
| 1, 31 | $W(p) = \frac{K}{p(1p+1)(2p+1)}$ | 0.10 | 0.2 | - | 20 |
| 2, 32 | | 0.20 | 0.2 | - | |
| 3, 33 | | 0.40 | 0.6 | - | |
| 4, 34 | | 0.30 | 0.4 | - | |
| 5, 35 | $W(p) = \frac{K}{p(1p+1)(2p+1)(3p+1)}$ | 0.10 | 0.2 | 0.3 | 30 |
| 6, 36 | | 0.20 | 0.6 | 0.1 | |
| 7, 37 | | 0.20 | 0.2 | 0.3 | |
| 8, 38 | | 0.20 | 0.3 | 0.4 | |
| 9, 39 | $W(p) = \frac{K}{p(2p^2+T_1p+1)}$ | 0.10 | 0.2 | - | 40 |
| 10, 40 | | 0.60 | 0.3 | - | |
| 11, 41 | | 0.50 | 0.2 | - | |
| 12, 42 | | 0.40 | 0.1 | - | |
| 13, 43 | $W(p) = \frac{K}{p(1p+1)^2}$ | 0.10 | - | - | 50 |
| 14, 44 | | 0.20 | - | - | |
| 15, 45 | | 0.30 | - | - | |
| 16, 46 | | 0.15 | - | - | |
| 17, 47 | $W(p) = \frac{K}{p(2p+1)^3}$ | - | 0.2 | - | 50 |
| 18, 48 | | - | 0.6 | - | |
| 19, 49 | | - | 0.4 | - | |
| 20, 50 | | - | 0.8 | - | |
| 21, 51 | $W(p) = \frac{K(1p+1)}{p(2p+1)^2}$ | 0.10 | 0.5 | - | 40 |
| 22, 52 | | 0.10 | 0.5 | - | |
| 23, 53 | | 0.05 | 0.5 | - | |
| 24, 54 | | 1.00 | 6.0 | - | |
| 25, 55 | $W(p) = \frac{K}{p(1p+1)(2p+1)}$ | 0.10 | 0.4 | - | 30 |
| 26, 56 | | 0.20 | 0.6 | - | |
| 27, 57 | | 0.05 | 0.4 | - | |

| Варіант | Передатні функції | Значення параметрів | | | |
|---------|-------------------------------|---------------------|----------|----------|-----|
| | | T_1, c | T_2, c | T_3, c | K |
| 28, 58 | $W(p) = \frac{Kp}{T_1 p + 1}$ | 0.40 | - | - | 20 |
| 29, 59 | | 0.60 | - | - | |
| 30, 60 | | 0.80 | - | - | |

ЗАВДАННЯ 4

Дослідити на стійкість систему, структурна схема якої представлена у на рис 5. Дослідження провести за коренями характеристичного рівняння, а також за допомогою алгебраїчного критерію стійкості Гурвіца. Порівняти результати.

Дані для розрахунків в таблиці 4.

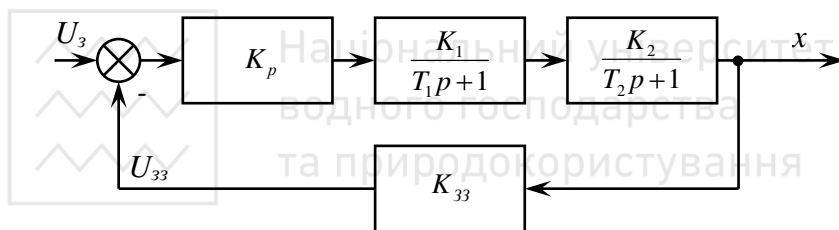


Рис.5.

Таблиця 4.

| №_вар. | K_p | K_1 | T_1 | K_2 | T_2 | K_{33} | №_вар. | K_p | K_1 | T_1 | K_2 | K_{33} |
|--------|-------|-------|-------|-------|-------|----------|--------|-------|-------|-------|-------|----------|
| 1 | 8 | 1,2 | 0,08 | 2,2 | 0,12 | 0,33 | 31 | 15 | 1,6 | 0,16 | 2,8 | 0,15 |
| 2 | 10 | 1,25 | 0,09 | 2,3 | 0,13 | 0,25 | 32 | 16 | 1,7 | 0,15 | 3,0 | 0,12 |
| 3 | 12 | 1,3 | 0,1 | 2,4 | 0,14 | 0,4 | 33 | 18 | 1,75 | 0,18 | 3,2 | 0,16 |
| 4 | 12,5 | 1,4 | 0,12 | 2,5 | 0,15 | 0,5 | 34 | 20 | 1,8 | 0,19 | 3,3 | 0,5 |
| 5 | 14 | 1,5 | 0,14 | 2,6 | 0,16 | 0,2 | 35 | 22 | 1,9 | 0,2 | 3,4 | 0,4 |
| 6 | 15 | 1,6 | 0,16 | 2,8 | 0,18 | 0,15 | 36 | 24 | 2,0 | 0,18 | 3,5 | 0,33 |
| 7 | 16 | 1,7 | 0,15 | 3,0 | 0,2 | 0,12 | 37 | 14 | 2,4 | 0,11 | 4,3 | 0,2 |
| 8 | 18 | 1,75 | 0,18 | 3,2 | 0,22 | 0,16 | 38 | 15 | 2,45 | 0,14 | 4,4 | 0,25 |
| 9 | 20 | 1,8 | 0,19 | 3,3 | 0,24 | 0,5 | 39 | 16 | 2,5 | 0,15 | 4,5 | 0,12 |
| 10 | 22 | 1,9 | 0,2 | 3,4 | 0,25 | 0,4 | 40 | 18 | 2,6 | 0,16 | 4,6 | 0,14 |
| 11 | 24 | 2,0 | 0,18 | 3,5 | 0,24 | 0,33 | 41 | 20 | 2,65 | 0,18 | 4,7 | 0,16 |
| 12 | 25 | 2,1 | 0,16 | 3,6 | 0,22 | 0,2 | 42 | 14 | 2,7 | 0,22 | 4,8 | 0,18 |
| 13 | 26 | 2,2 | 0,15 | 3,8 | 0,21 | 0,25 | 43 | 8 | 1,2 | 0,08 | 2,2 | 0,33 |
| 14 | 12 | 2,3 | 0,14 | 4,0 | 0,2 | 0,24 | 44 | 10 | 1,25 | 0,09 | 2,3 | 0,25 |

| № _{вар.} | K _p | K ₁ | T ₁ | K ₂ | T ₂ | K ₃₃ | № _{вар.} | K _p | K ₁ | T ₁ | K ₂ | K ₃₃ |
|-------------------|----------------|----------------|----------------|----------------|----------------|-----------------|-------------------|----------------|----------------|----------------|----------------|-----------------|
| 15 | 12,5 | 2,25 | 0,12 | 4,2 | 0,18 | 0,22 | 45 | 12 | 1,3 | 0,1 | 2,4 | 0,4 |
| 16 | 14 | 2,4 | 0,11 | 4,3 | 0,16 | 0,2 | 46 | 12,5 | 1,4 | 0,12 | 2,5 | 0,5 |
| 17 | 15 | 2,45 | 0,14 | 4,4 | 0,16 | 0,25 | 47 | 14 | 1,5 | 0,14 | 2,6 | 0,2 |
| 18 | 16 | 2,5 | 0,15 | 4,5 | 0,15 | 0,12 | 48 | 14 | 2,7 | 0,22 | 4,8 | 0,18 |
| 19 | 18 | 2,6 | 0,16 | 4,6 | 0,14 | 0,14 | 49 | 16 | 2,75 | 0,24 | 5,0 | 0,15 |
| 20 | 20 | 2,65 | 0,18 | 4,7 | 0,12 | 0,16 | 50 | 18 | 2,8 | 0,25 | 5,2 | 0,22 |
| 21 | 14 | 2,7 | 0,22 | 4,8 | 0,11 | 0,18 | 51 | 20 | 2,85 | 0,26 | 5,4 | 0,25 |
| 22 | 16 | 2,75 | 0,24 | 5,0 | 0,08 | 0,15 | 52 | 22 | 3,0 | 0,28 | 5,5 | 0,28 |
| 23 | 18 | 2,8 | 0,25 | 5,2 | 0,06 | 0,22 | 53 | 24 | 3,2 | 0,32 | 5,6 | 0,3 |
| 24 | 20 | 2,85 | 0,26 | 5,4 | 0,07 | 0,25 | 54 | 20 | 1,7 | 0,08 | 2,2 | 0,32 |
| 25 | 22 | 3,0 | 0,28 | 5,5 | 0,05 | 0,28 | 55 | 15 | 1,9 | 0,1 | 3,3 | 0,28 |
| 26 | 24 | 3,2 | 0,32 | 5,6 | 0,09 | 0,3 | 56 | 18 | 2,1 | 0,12 | 5,2 | 0,17 |
| 27 | 20 | 1,7 | 0,08 | 2,2 | 0,12 | 0,32 | 57 | 22 | 2,7 | 0,15 | 4,0 | 0,3 |
| 28 | 15 | 1,9 | 0,1 | 3,3 | 0,17 | 0,28 | 58 | 22 | 1,9 | 0,2 | 3,4 | 0,4 |
| 29 | 18 | 2,1 | 0,12 | 5,2 | 0,14 | 0,17 | 59 | 24 | 2,0 | 0,18 | 3,5 | 0,33 |
| 30 | 22 | 2,7 | 0,15 | 4,0 | 0,16 | 0,3 | 60 | 25 | 2,1 | 0,16 | 3,6 | 0,2 |



водного господарства
та природокористування

СПИСОК РЕКОМЕНДОВАНОЇ ЛІТЕРАТУРИ

1. Зайцев Г. Ф. Теория автоматического управления и регулирования. 2-е изд., перераб. и доп. К. : Вища школа, 1989. 431 с.
2. Попов Е. П. Теория линейных систем автоматического регулирования и управления. М. : Наука, 1978. 256 с.
3. Бондар П. М., Бурау Н. І. Методичні вказівки до контрольних завдань з курсу «Теорія автоматичного керування». Київ: НТУУ «КПІ», 1997. 36 с.
4. Попович М. Г., Ковальчук О. В. Теорія автоматичного керування : підручник. К. : Либідь, 1997. 544 с.